

## V-10 大寸法の碎石を用いたフレパックドコンクリート

についての実験的研究

日本鉄道建設公団 ○櫻井紀朗  
鉄道建設業協会 宮澤修郎  
“ 太田孝  
“ 古賀和敏

### §1 まえがき

フレパックドコンクリートの施工の能率化を進める上に、最も大きな眼目となるのは、モルタル注入の高速化である。これにともなう問題としては、モルタル材料の分離現象があげられるが、この防止策としては、骨材粒度をできるだけ大きくする、強度をとらない範囲でモルタルの流動性を高めること等の方法が考えられ、施工実験の結果などから、その効果が定性的に確かめられている。しかし実際問題としては、種々の制約を受けた環境条件のもとで、最も効果的な施工方法を見出すことが重要であり、そのためには、工法の最適設計方法、あるいは評価方法が必要になってくる。本題の研究は、コンクリートの品質、施工の信頼性、経済性を満足するような、注入モルタルと骨材粒度の最適設計方法について検討しようとするものであるが、今回は、この研究の中間報告として、注入モルタルの流動性状に関する実験の一節を報告する。

注入モルタルの流動性の測定にはフロー試験が採用されており、コンシスタンシーの管理においては、簡単かつ有効な方法と考えられる。しかし同じフロー値であっても、配合の種類、水セメント比などにより、モルタルの性質はかなり異なるものと考えられる。注入モルタルは力学的にはビンガム流体に属しており、その性質は一般粘度 $\mu_B$ とせん断降伏値 $\tau_y$ の2つの値で表現する必要があるといわれている。実験では、各種のモルタルがどのような性質であるかをもつてゐるか、あるいは配合、材料等の変化が特性値にどのような影響を与えるのか、またフロー値とこれらとの関係などについて調べてみることとした。

### §2 実験方法

モルタルの特性値を測定する方法としては、細管式粘度計による方法と、回転式粘度計による方法が考えられる。今回の実験では両方法を併用したが、回転式粘度計による場合は時間の経過とともに測定値が変化し、結果に確信がもてないため、ここでは細管式粘度計による方法について述べる。

2種類の流速に対する管内圧力損失を測定し、(1)式により流動物性値を求める。

$$U_a = \frac{D \cdot \tau_w}{24 \mu_B} \left\{ 3 - 4 \left( \frac{\tau_y}{\tau_w} \right)^2 + \left( \frac{\tau_y}{\tau_w} \right)^4 \right\} \quad (1)$$
$$\tau_w = \frac{D \cdot \Delta P}{4L}$$

ここで、 $U_a$ : 平均流速

$\tau_w$ : 携壁せん断応力

$L$ : 2測定間の距離

$\mu_B$ : 一般粘度

$\tau_y$ : せん断降伏値

$\Delta P$ : 2測定間の差圧

差圧測定装置の概略は図-1に示してあるが、モルタル中の砂の粒子の影響をさけるために、輸送管径は $25\text{ mm}$ とした。またモルタルの輸送にはヘッドメントを利用したが、これはモルタル $\theta = 7^\circ$ の流动をさげたためである。

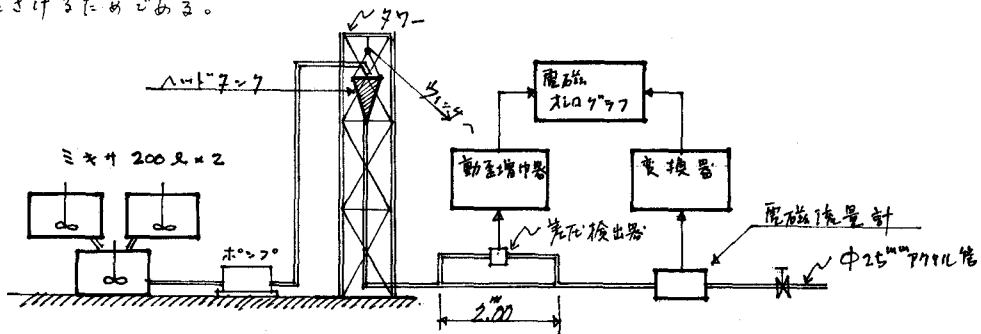


図-1 差圧測定装置の概略

### §3 モルタル試料

モルタルの流动特性を構成する要因としては種々考えられるが、ここでは最も主要な要因と考えられる $\eta/\text{C+F}$ と混和剤3種を取り上げ、2元配置、 $4\times 5$ 、くり返し3回の実験とした。実験条件は次の通りである。

配合	$\eta/\text{C+F}$	混和剤	$\text{Ae}/\text{C+F}$	測定時間	モルタル量	モルタル温度
$\text{C:F:S} =$	$46\sim 58\%$	$70\text{L}-$	0	混練開始後		
$1:0.25:1.25$		A	0.25 %	30~40分	340 L	$5.4\sim 14.0^\circ\text{C}$
		B	0.25 %			平均 $10.3^\circ\text{C}$
		C	0.10 %			

### §4 実験結果

#### 4-1 一般粘度と $\eta/\text{C+F}$ の関係

一般粘度は $\eta/\text{C+F}$ の増加とともに減少するが、混和剤の影響は顕著ではない(図-2)。

#### 4-2 せん断降伏値と $\eta/\text{C+F}$ の関係

せん断降伏値は $\eta/\text{C+F}$ の増加とともに減少するが、混和剤の影響が認められる(図-3)。

#### 4-3 一般粘度とせん断降伏値の関係

一般粘度とせん断降伏値の関係は図-4に示すとおりである。

#### 4-4 一般粘度とフロー値の関係

一般粘度とフロー値の関係は図-5に示すとおりである。

#### 4-5 せん断降伏値とフロー値の関係

せん断降伏値とフロー値の関係は図-6に示すとおりである。

#### 4-6 モルタル温度の影響

モルタル温度の相違による特性値の変化は、解析結果では判断できない程度のものであった。

### §5 測定誤差

差圧計の誤差は $0.5\%$ 以下であるが、伝力伝達液の温度による体積膨張があるため、外気温が $8\sim$

図-2 一般粘度  $\mu_B$  と  $w/c_f$  の関係

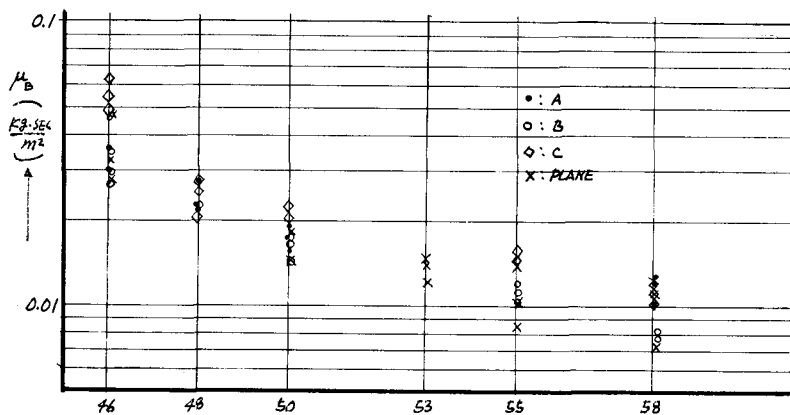


図-3 せん断降伏値と  $w/c_f$  の関係

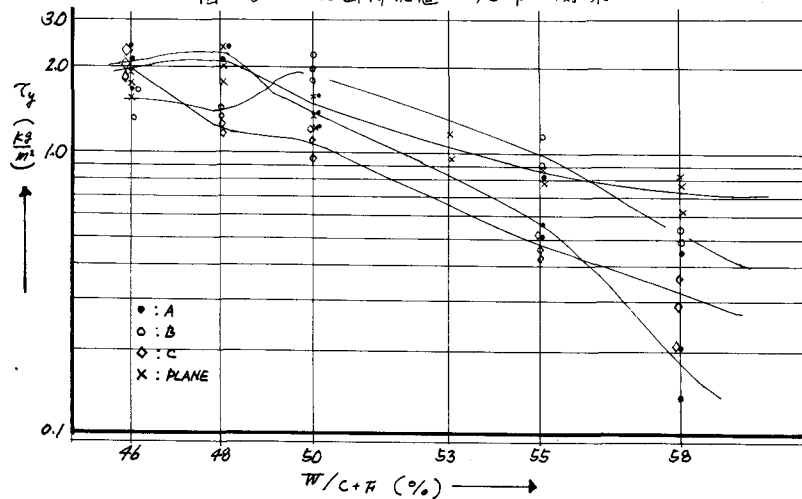
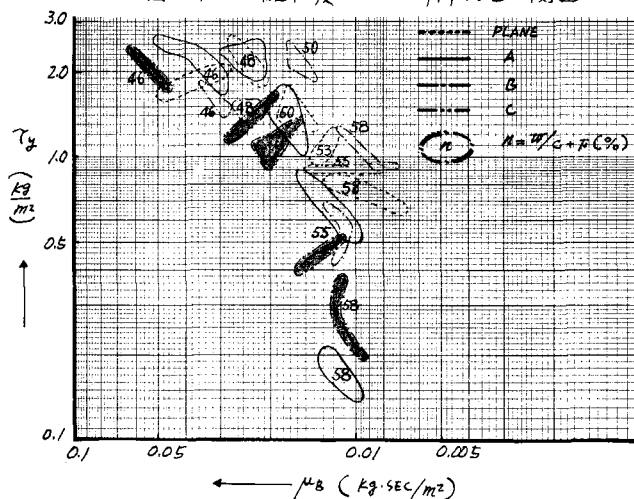


図-4 一般粘度とせん断降伏値の関連



16°C の範囲で ±1% の誤差が生じる。そこで測定開始前にキャリブレーションを行ない、誤差の消去を図った。流量計の誤差は最大 1.5% 程度である。細管式における差圧、流速の測定誤差が ±2% 、△P に及ぼす影響は、この計算がトライアルであるために、定量的には算出できない。こゝため代表的な△P、Q を 50 レース選定し、1% の誤差を与えた時の特性値: △P<sub>1</sub> と Q<sub>1</sub> を標準を与えた場合、両軸に接近する場合、すなむち、この比値が  $\eta/c + \eta_0$  が 46% の時、この傾向が生じ易い。

誤差	$\Delta P \pm 1\%$ の場合	$Q_1 \pm 1\%$ の場合
最大	$\mu_B \pm 8.6\%$	$T_y \pm 54.0\%$
標準	$\mu_B \pm 4.2\%$	$T_y \pm 8.0\%$

### 6.6 あとがき

$\eta/c + \eta_0$  あるいはフロー値と流動特性値  $\mu_B$ 、 $T_y$  は、それらが比例関係にあり、一般粘度よりせん断降伏値の方に混和剤の影響が強く出ている。現在の装置では、 $T_y$  の測定精度に問題があることと、測定費用がかなり嵩むまで、適当な装置を開発する必要がある。今回、対象にしたエルタールは混練後、1 時間以内のものであるため、時間経過に対する特性値などのように変化するか、配合比、材料などの影響はどうか、あるいはまた、流動特性値が滑移中を流れエルタールにどのような影響を与えるか、は興味のあるところであり、今後さらに検討を進めていきたいと考えている。

図-5 一般粘度とフロー値の関係

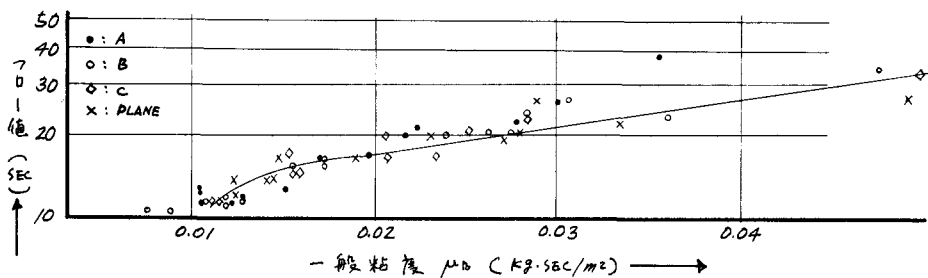


図-6 せん断降伏値とフロー値の関係

